

二層膜からの和周波(SFG)光 — 一般式

ファイル「膜からの和周波発生」の延長として、膜層の数が2個のときの表式を求めておく。(3層以上になるとテンソルの級数になるので複雑すぎる。)

1. 係数等

反射係数及び透過係数

電場を表面固定座標系の成分で表すときに、反射係数及び透過係数は下のようになることを使って、座標成分を表している。

$$r_{1m,s} = \frac{n_1 \cos \theta_1 - n_m \cos \theta_m}{n_1 \cos \theta_1 + n_m \cos \theta_m}, \quad t_{1m,s} = \frac{2n_1 \cos \theta_1}{n_1 \cos \theta_1 + n_m \cos \theta_m}$$

$$r_{1m,p} = \frac{n_1 \cos \theta_m - n_m \cos \theta_1}{n_1 \cos \theta_m + n_m \cos \theta_1}, \quad t_{1m,p} = \frac{2n_1 \cos \theta_1}{n_1 \cos \theta_m + n_m \cos \theta_1}$$

$$r_{1m,x} = -r_{m1,x} = r_{1m,p}, \quad r_{1m,y} = -r_{m1,y} = r_{1m,s}, \quad r_{1m,z} = -r_{m1,z} = -r_{1m,p}$$

$$r_{2m,x} = -r_{m2,x} = r_{2m,p}, \quad r_{2m,y} = -r_{m2,y} = r_{2m,s}, \quad r_{2m,z} = -r_{m2,z} = -r_{2m,p}$$

$$t_{1m,x} = (\cos \theta_m / \cos \theta_1) t_{1m,p}, \quad t_{1m,y} = t_{1m,s}, \quad t_{1m,z} = (\sin \theta_m / \sin \theta_1) t_{1m,p}$$

$$t_{m1,x} = (\cos \theta_1 / \cos \theta_m) t_{m1,p}, \quad t_{m1,y} = t_{m1,s}, \quad t_{m1,z} = (\sin \theta_1 / \sin \theta_m) t_{m1,p}$$

$$t_{2m,x} = (\cos \theta_m / \cos \theta_2) t_{2m,p}, \quad t_{2m,y} = t_{2m,s}, \quad t_{2m,z} = (\sin \theta_m / \sin \theta_2) t_{2m,p}$$

$$t_{m2,x} = (\cos \theta_2 / \cos \theta_m) t_{m2,p}, \quad t_{m2,y} = t_{m2,s}, \quad t_{m2,z} = (\sin \theta_2 / \sin \theta_m) t_{m2,p}$$

$$t_{1m,\alpha} t_{m1,\alpha} = 1 + r_{1m,\alpha} r_{m1,\alpha} = 1 - r_{1m,\alpha}^2, \quad t_{2m,\alpha} t_{m2,\alpha} = 1 + r_{2m,\alpha} r_{m2,\alpha} = 1 - r_{2m,\alpha}^2, \quad (\alpha = x, y, z)$$

L 係数、電場振幅

L 係数とは、分極とそれから生成する光の電場振幅を関係づける係数である。

$$E_{SF,\alpha} = \sum_{\beta} L_{\alpha\beta} P_{\beta}^{SF}$$

一般化された Snell の屈折式により、生成する SFG 光は上向き (-) 光と下向き (+) 光の両方になる。また、分極が存在する部位によって L 係数の表式が違う。もともと導かれた式は、無限に薄い薄膜 m が分極して、そこから媒質 1 と媒質 2 に出てくる光を考えたものであって、s 偏光と p 偏光の電場振幅を分極の x、y、z 成分とつなげるものであるが、ここでは、これを拡張して考える。また、共通因子である $4\pi\omega_{SF}/c$ (屈折率の代わりに波数ベクトルを使うときには $4\pi\omega_{SF}^2/c^2$) を省略する。

L 係数の表記法 ; $L_{i\beta s(p),\alpha}$: 分極シート m' が i 層と j 層に挟まれているときに、分極の α 成分 ($\alpha = x, y, z$) が作る光の s 偏光又は p 偏光成分の間の係数。上向き (-) 光と下向き (+) 光を上付き - と + で区別する。

媒質 1 と積層膜 m の間の分極シート m' からの光生成に対しては、

$$L_{1/m,p,x} = \cos \theta_{m,SF} / (n_{1,SF} \cos \theta_{m,SF} + n_{m,SF} \cos \theta_{1,SF})$$

$$L_{1/m,s,y} = 1 / (n_{1,SF} \cos \theta_{1,SF} + n_{m,SF} \cos \theta_{m,SF})$$

$$L_{1/m,p,z} = (n_m / n_m) \sin \theta_{m,SF} / (n_{1,SF} \cos \theta_{m,SF} + n_{m,SF} \cos \theta_{1,SF}) = (n_m / n_m)^2 \sin \theta_{m,SF} / (n_{1,SF} \cos \theta_{m,SF} + n_{m,SF} \cos \theta_{1,SF})$$

$$\begin{aligned}
L_{1/m,p,x}^+ &= \cos\theta_{1,SF}/(n_{1,SF}\cos\theta_{m,SF} + n_{m,SF}\cos\theta_{1,SF}) \\
L_{1/m,s,y}^+ &= 1/(n_{1,SF}\cos\theta_{1,SF} + n_{m,SF}\cos\theta_{m,SF}) \\
L_{1/m,p,z}^+ &= -(n_1/n_m)\sin\theta_{m',SF}/(n_{1,SF}\cos\theta_{m,SF} + n_{m,SF}\cos\theta_{1,SF}) = -(n_1/n_m)^2\sin\theta_{1,SF}/(n_{1,SF}\cos\theta_{m,SF} + n_{m,SF}\cos\theta_{1,SF})
\end{aligned}$$

媒質 2 と積層膜 m の間の分極 シート m' からの光生成に対しては、

$$\begin{aligned}
L_{2/m,p,x}^- &= \cos\theta_{2,SF}/(n_{2,SF}\cos\theta_{m,SF} + n_{m,SF}\cos\theta_{2,SF}) \\
L_{2/m,s,y}^- &= 1/(n_{2,SF}\cos\theta_{2,SF} + n_{m,SF}\cos\theta_{m,SF}) \\
L_{2/m,p,z}^- &= (n_2/n_{m'})\sin\theta_{m',SF}/(n_{2,SF}\cos\theta_{m,SF} + n_{m,SF}\cos\theta_{2,SF}) = (n_2/n_{m'})^2\sin\theta_{2,SF}/(n_{2,SF}\cos\theta_{m,SF} + n_{m,SF}\cos\theta_{2,SF}) \\
L_{2/m,p,x}^+ &= \cos\theta_{m,SF}/(n_{2,SF}\cos\theta_{m,SF} + n_{m,SF}\cos\theta_{2,SF}) \\
L_{2/m,s,y}^+ &= 1/(n_{2,SF}\cos\theta_{2,SF} + n_{m,SF}\cos\theta_{m,SF}) \\
L_{2/m,p,z}^+ &= -(n_m/n_{m'})\sin\theta_{m',SF}/(n_{2,SF}\cos\theta_{m,SF} + n_{m,SF}\cos\theta_{2,SF}) = -(n_m/n_{m'})^2\sin\theta_{m,SF}/(n_{2,SF}\cos\theta_{m,SF} + n_{m,SF}\cos\theta_{2,SF})
\end{aligned}$$

積層膜内部の分極 シートからの光生成に対しては、

$$\begin{aligned}
L_{m/m,p,x}^- &= L_{m/m,p,x}^+ = \cos\theta_{m,SF}/(2n_{m,SF}\cos\theta_{m,SF}) \\
L_{m/m,s,y}^- &= L_{m/m,s,y}^+ = 1/(2n_{m,SF}\cos\theta_{m,SF}) \\
L_{m/m,p,z}^- &= -L_{m/m,p,z}^+ = \sin\theta_{m,SF}/(2n_{m,SF}\cos\theta_{m,SF})
\end{aligned}$$

2. 二層系 (1/m'/m/2) からの SFG

2.1. 要約

以下で使う記号を次のように定義する。

(最初の界面に達するまでの位相変化)

$$\begin{aligned}
a_0 &= \exp(iz_1/\cos\theta_m), \quad a^*_0 = \exp[i(h_{m'} - z_1)/\cos\theta_m] \\
b_0 &= \exp(iz_1/\cos\theta_m), \quad b^*_0 = \exp[i(h_{m'} - z_1)/\cos\theta_m]
\end{aligned}$$

(ここで、* が付いた量は複素共役を意味しないことに注意したい。)

(多重反射におけるユニット)

$$\begin{aligned}
\alpha &= r_{m1}r_{m'm}a^2, \quad a = \exp(ih_m/\cos\theta_m), \\
\beta &= r_{m1}t_{m'm}r_{m2}t_{m'm}a^2b^2, \\
\gamma &= r_{m2}r_{m'm}b^2, \quad b = \exp(ih_m/\cos\theta_m)
\end{aligned}$$

$$\mathbf{X} = \begin{bmatrix} \alpha & \beta \\ \alpha & \beta + \gamma \end{bmatrix}, \quad \mathbf{X}' = \begin{bmatrix} \alpha + \beta & \beta\gamma \\ 1 & \gamma \end{bmatrix}$$

$$\mathbf{Y} = \begin{bmatrix} \beta + \gamma & \alpha\beta \\ 1 & \alpha \end{bmatrix}, \quad \mathbf{Y}' = \begin{bmatrix} \gamma & \beta \\ \gamma & \alpha + \beta \end{bmatrix}$$

$$Z = |\mathbf{E} - \mathbf{X}| = |\mathbf{E} - \mathbf{X}'| = |\mathbf{E} - \mathbf{Y}| = |\mathbf{E} - \mathbf{Y}'| = 1 + r_{1m}r_{m'm}a^2 + (r_{m'm} + r_{1m}a^2)r_{m2}b^2$$

m' 層の深さ z_1 点からの SFG

E^+ sources

$$\begin{aligned}
E^+(0) &= t_{m'1}a^*_0a [r_{m'm} t_{m'm}r_{m2}t_{m'm}b^2][\mathbf{E} + \mathbf{X} + \mathbf{X}^2 + \dots] \begin{bmatrix} 1 \\ 1 \end{bmatrix} L_{m'/m}^+ \mathbf{P}(z_1) \\
&= t_{m'1}a^*_0a [r_{m'm} t_{m'm}r_{m2}t_{m'm}b^2][\mathbf{E} - \mathbf{X}]^{-1} \begin{bmatrix} 1 \\ 1 \end{bmatrix} L_{m'/m}^+ \mathbf{P}(z_1)
\end{aligned}$$

$$= t_{m'1} a^* a (r_{m'm} + r_{m2} b^2) L_{m'/m}^+ \mathbf{P}(z_1) / Z \quad (2.1)$$

$$\begin{aligned} E^+(h_m^+) &= t_{m2} a^* t_{m'm} b [1, \alpha][E + Y + Y^2 + \dots] \begin{bmatrix} 1 \\ 0 \end{bmatrix} L_{m'/m}^+ \mathbf{P}(z_1) \\ &= t_{m2} a^* t_{m'm} b [1, \alpha][E - Y]^{-1} \begin{bmatrix} 1 \\ 0 \end{bmatrix} L_{m'/m}^+ \mathbf{P}(z_1) \\ &= t_{m2} a^* t_{m'm} b L_{m'/m}^+ \mathbf{P}(z_1) / Z \end{aligned} \quad (2.2)$$

E^- sources

$$\begin{aligned} E^-(0) &= t_{m'1} a_0 [\alpha, \beta][E + X + X^2 + \dots] \begin{bmatrix} 1 \\ 1 \end{bmatrix} L_{m'/m}^- \mathbf{P}(z_1) \\ &= t_{m'1} a_0 [\alpha, \beta][E - X]^{-1} \begin{bmatrix} 1 \\ 1 \end{bmatrix} L_{m'/m}^- \mathbf{P}(z_1) \\ &= t_{m'1} a_0 (1 + r_{mm} r_{m2} b^2) L_{m'/m}^- \mathbf{P}(z_1) / Z \end{aligned} \quad (2.3)$$

$$\begin{aligned} E^-(h_m^+) &= t_{m2} a_0 r_{m'1} a t_{m'm} [1, \alpha][E + Y + Y^2 + \dots] \begin{bmatrix} 1 \\ 0 \end{bmatrix} L_{m'/m}^- \mathbf{P}(z_1) \\ &= t_{m2} a_0 r_{m'1} a t_{m'm} [1, \alpha][E - Y]^{-1} \begin{bmatrix} 1 \\ 0 \end{bmatrix} L_{m'/m}^- \mathbf{P}(z_1) \\ &= t_{m2} a_0 r_{m'1} t_{m'm} a b L_{m'/m}^- \mathbf{P}(z_1) / Z \end{aligned} \quad (2.4)$$

m 層の m'/m 界面から深さ z_2 の点からの SFG

E^+ sources

$$\begin{aligned} E^+(0) &= t_{m'1} b^* r_{m2} a b [t_{m'm} \gamma t_{m'm}] [E + X' + X'^2 + \dots] \begin{bmatrix} 1 \\ 0 \end{bmatrix} L_{m'/m}^+ \mathbf{P}(z_2) \\ &= t_{m'1} b^* r_{m2} a b [t_{m'm} \gamma t_{m'm}] [E - X']^{-1} \begin{bmatrix} 1 \\ 0 \end{bmatrix} L_{m'/m}^+ \mathbf{P}(z_2) \\ &= t_{m'1} b^* t_{m'm} r_{m2} a b L_{m'/m}^+ \mathbf{P}(z_2) / Z \end{aligned} \quad (2.5)$$

$$\begin{aligned} E^+(h_m^+) &= t_{m2} b^* t_{m'm} b [\gamma, \beta][E + Y' + Y'^2 + \dots] \begin{bmatrix} 1 \\ 1 \end{bmatrix} L_{m'/m}^+ \mathbf{P}(z_2) \\ &= t_{m2} b^* t_{m'm} b [\gamma, \beta][E - Y']^{-1} \begin{bmatrix} 1 \\ 1 \end{bmatrix} L_{m'/m}^+ \mathbf{P}(z_2) \\ &= t_{m2} b^* (1 + r_{1m} r_{m'm} a^2) L_{m'/m}^+ \mathbf{P}(z_2) / Z \end{aligned} \quad (2.6)$$

E^- sources

$$\begin{aligned} E^-(0) &= t_{m'1} b_0 [1, \gamma][E + X' + X'^2 + \dots] \begin{bmatrix} 1 \\ 0 \end{bmatrix} L_{m'/m}^- \mathbf{P}(z_2) \\ &= t_{m'1} b_0 [1, \gamma][E - X']^{-1} \begin{bmatrix} 1 \\ 0 \end{bmatrix} L_{m'/m}^- \mathbf{P}(z_2) \end{aligned}$$

$$= t_{m'1} b_0 a t_{mm'} L_{m'm} P(z_2) / Z \quad (2.7)$$

$$\begin{aligned} E^+(h_m^+) &= t_{m2} b_0 b [r_{mm'}, t_{mm'} r_{m'1} t_{m'm} a^2] [E + Y + Y^2 + \dots] \begin{bmatrix} 1 \\ 1 \end{bmatrix} L_{m'm} P(z_2) \\ &= t_{m2} b_0 b [r_{mm'}, t_{mm'} r_{m'1} t_{m'm} a^2] [E - Y]^{-1} \begin{bmatrix} 1 \\ 1 \end{bmatrix} L_{m'm} P(z_2) \\ &= -t_{m2} b_0 b (r_{m'm} + r_{1m} a^2) L_{m'm} P(z_2) / Z \end{aligned} \quad (2.8)$$

2.2. 詳論

外部に出てくる直前の光の電場振幅を考察する。

m' 層の深さ z_1 点からの SFG

光の経路には、媒質 1 から来た光が媒質 2 との界面で反射・屈折するところでチョイスが生じる。このチョイスを適切に取り入れ、 E^+ が E^- に反転する反射の回数が増すごとに考慮することによって、必要な表式を求めることが出来る。

生成光が最初に m'/m 界面に達したときの挙動で分類すると、m'/m 界面での反射に対してさらに 1 回の反転を加えたときに派生する経路は下のように表される。

$$\begin{aligned} x r_{m'm} y &\Rightarrow x r_{m'm} r_{m'1} a^2 r_{m'm} y = x r_{m'm} \alpha y \\ x t_{m'm} r_{m2} t_{mm'} r_{m'1} a^2 b^2 r_{m'm} y &= x t_{m'm} \alpha [r_{m2} t_{mm'} b^2] y \end{aligned} \quad (2.9)$$

また、m'/m 界面は透過して m/2 界面で反射したものにさらに 1 回の反転を加えたときに派生する経路は下のように表される。

$$\begin{aligned} x' t_{m'm} y' &\Rightarrow x r_{m'm} r_{m'1} a^2 t_{m'm} y' = x r_{m'm} [r_{m'1} a^2 t_{m'm}] y' \\ x t_{m'm} r_{m2} t_{mm'} r_{m'1} a^2 b^2 t_{m'm} y' &= x t_{m'm} \beta y' \\ x t_{m'm} r_{m2} r_{mm'} b^2 y' &= x t_{m'm} \gamma y' \end{aligned} \quad (2.10)$$

(まず下の具体的な例を参照した方がピンと来るかもしれない。)

よって、 n 回の反転を経た光の出口直下での電場を下のように置くととき、

$$x(r_{m'm} y_n + t_{m'm} y_n') = x(r_{m'm}, t_{m'm}) \begin{bmatrix} y_n \\ y_n' \end{bmatrix}$$

$(n+1)$ 回の反転を経た光の出口直下での電場は下のように表される。

$$\begin{aligned} &x[r_{m'm}(\alpha y_n + r_{m'1} t_{m'm} a^2 y_n') + t_{m'm}(\alpha r_{m2} t_{mm'} b^2 y_n + \beta y_n' + \gamma y_n')] \\ &= x(r_{m'm}, t_{m'm}) \begin{bmatrix} \alpha & r_{m'1} t_{m'm} a^2 \\ r_{m2} t_{mm'} b^2 \alpha & \beta + \gamma \end{bmatrix} \begin{bmatrix} y_n \\ y_n' \end{bmatrix} \end{aligned}$$

$$= x(r_{m'm}, t_{m'm}) \begin{bmatrix} \alpha & r_{m1} t_{m'm} a^2 \\ r_{m2} t_{m'm} b^2 \alpha & \beta + \gamma \end{bmatrix}^{n+1} \begin{bmatrix} y_0 \\ y_0' \end{bmatrix}$$

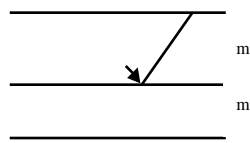
付録により、右辺の行列のべき乗がゼロに収束するときには、ネットの電場は（ゼロ次項から寄与する場合には）下ようになる。

$$\begin{aligned} E_{\text{net}} &= x(r_{m'm}, t_{m'm}) \begin{bmatrix} 1 - \alpha & -r_{m1} t_{m'm} a^2 \\ -r_{m2} t_{m'm} b^2 \alpha & 1 - \beta - \gamma \end{bmatrix}^{-1} \begin{bmatrix} y_0 \\ y_0' \end{bmatrix} \\ &= \frac{1}{1 - \alpha - \beta - \gamma + \alpha\gamma} x(r_{m'm}, t_{m'm}) \begin{bmatrix} 1 - (\beta + \gamma) & r_{m1} t_{m'm} a^2 \\ r_{m2} t_{m'm} b^2 \alpha & 1 - \alpha \end{bmatrix} \begin{bmatrix} y_0 \\ y_0' \end{bmatrix} \end{aligned} \quad (2.11)$$

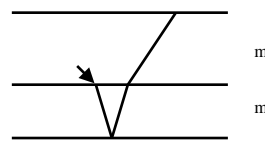
E^+ sources

反射 SFG $E^+(0)$

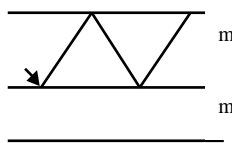
出口に達するまでに E^+ が E^- に変わる反射の回数が 1 回のは下図の a-1 と b-1 である。反射の回数が 2 のもの考えるときに、生成光が最初に m'/m 界面に達したときの挙動で分類すると、図 a-1 (m'/m 界面で反射した) で示した経路からは図 a-2a と図 a-2b で示した経路が派生し、図 b-1 (m'/m 界面は透過して $m/2$ 界面で反射した) で示した経路からは図 b-2a、図 b-2b、図 b-2c で示した経路が派生する。



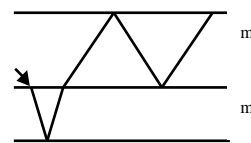
a-1: $a_0^* r_{m'm} a$



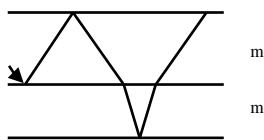
b-1: $a_0^* t_{m'm} r_{m2} t_{m'm} a b^2$



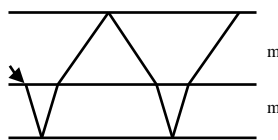
a-2a: $a_0^* r_{m'm} \alpha a$



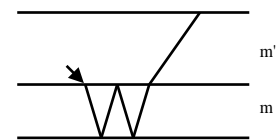
a-2b: $a_0^* t_{m'm} \alpha (r_{m2} t_{m'm} b^2) a$



b-2a: $a_0^* r_{m'm} \beta a$



b-2b: $a_0^* t_{m'm} \beta (r_{m2} t_{m'm} a b^2)$

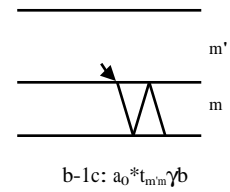
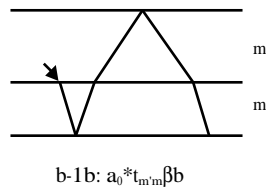
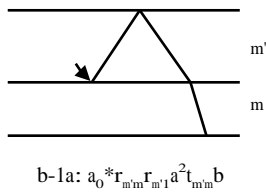
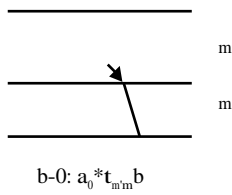


b-2c: $a_0^* t_{m'm} \gamma (r_{m2} t_{m'm} a b^2)$

(2.11) 式を当てはめると、 $x = a_0^*$ 、 $y_0 = a$ 、 $y_0' = r_{m2}t_{mm}b^2a$ に対応する。よって、

$$\begin{aligned}
 E_{\text{net}} &= \frac{1}{1-\alpha-\beta-\gamma+\alpha\gamma} a_0^* (r_{m'm}, t_{m'm}) \begin{bmatrix} 1-(\beta+\gamma) & r_{m'1}t_{m'm}a^2 \\ r_{m2}t_{mm}b^2\alpha & 1-\alpha \end{bmatrix} \begin{bmatrix} a \\ r_{m2}t_{mm}b^2a \end{bmatrix} \\
 &= \frac{r_{m'm}(1-r_{m2}r_{mm}b^2)+r_{m2}(1+r_{mm}r_{m'm})b^2}{1-\alpha-\beta-\gamma+\alpha\gamma} a_0^* a \\
 &= a_0^* a \frac{r_{m'm}+r_{m2}b^2}{1-\alpha-\beta-\gamma+\alpha\gamma}
 \end{aligned} \tag{2.12}$$

透過 SFG $E^+(h_m^+)$



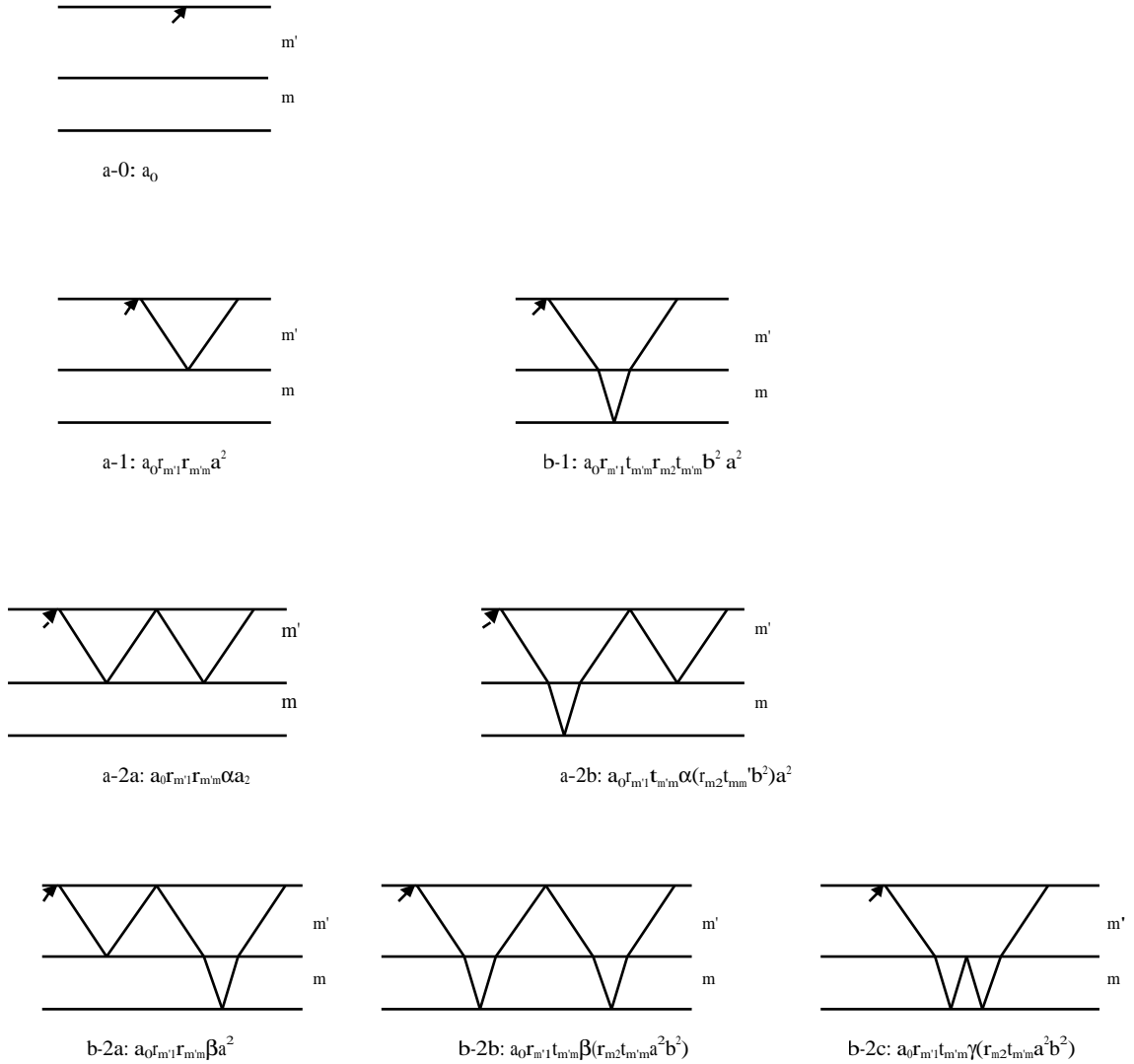
(2.11) 式を当てはめると、 $x = a_0^*$ 、 $y_0 = 0$ 、 $y_0' = b$ に対応する。よって、

$$\begin{aligned}
 E_{\text{net}} &= \frac{1}{1-\alpha-\beta-\gamma+\alpha\gamma} a_0^* (r_{m'm}, t_{m'm}) \begin{bmatrix} 1-(\beta+\gamma) & r_{m'1}t_{m'm}a^2 \\ r_{m2}t_{mm}b^2\alpha & 1-\alpha \end{bmatrix} \begin{bmatrix} 0 \\ b \end{bmatrix} \\
 &= \frac{t_{m'm}}{1-\alpha-\beta-\gamma+\alpha\gamma} a_0^* b
 \end{aligned} \tag{2.13}$$

E^- sources

反射 SFG $E^-(0)$

上と同様に考えると、この場合には下図に示す経路が可能である。

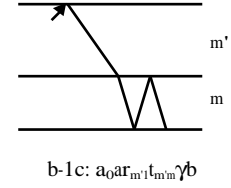
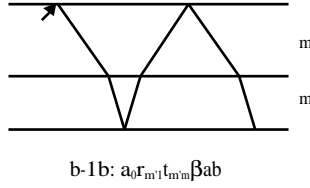
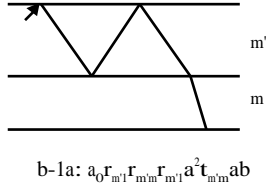
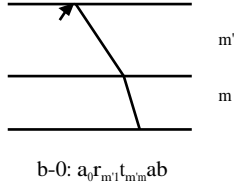


この場合は、すぐ外に出る項 a_0 と、上で示した定式に従う項が存在する。後者に対して (2.11) 式を当てはめると、 $x = a_0 r_{m'1}$ 、 $y_0 = a^2$ 、 $y_0' = r_{m2} t_{m'm} a^2 b^2$ に対応する。よって、

$$\begin{aligned}
 E_{\text{net}} &= a_0 + \frac{1}{1 - \alpha - \beta - \gamma + \alpha\gamma} a_0 r_{m'1} (r_{m'm}, t_{m'm}) \begin{bmatrix} 1 - (\beta + \gamma) & r_{m1} t_{m'm} a^2 \\ r_{m2} t_{m'm} b^2 \alpha & 1 - \alpha \end{bmatrix} \begin{bmatrix} a^2 \\ r_{m2} t_{m'm} a^2 b^2 \end{bmatrix} \\
 &= a_0 + \frac{r_{m1} (r_{m'm} + r_{m2} b^2) a^2}{1 - \alpha - \beta - \gamma + \alpha\gamma} a_0 \\
 &= \frac{1 - r_{m'm} r_{m2} b^2}{1 - \alpha - \beta - \gamma + \alpha\gamma} a_0
 \end{aligned} \tag{2.14}$$

透過 SFG $E^+(h_m^+)$

上と同様に考えると、この場合には下図に示す経路が可能である。



(2.11) 式を当てはめると、 $x = a_0 r_{m'1} a$ 、 $y_0 = 0$ 、 $y_0' = b$ に対応する。よって、

$$\begin{aligned}
 E_{\text{net}} &= \frac{1}{1 - \alpha - \beta - \gamma + \alpha\gamma} a_0 r_{m'1} (r_{m'm}, t_{m'm}) \begin{bmatrix} 1 - (\beta + \gamma) & r_{m'1} t_{m'm} a^2 \\ r_{m'2} t_{mm} b^2 \alpha & 1 - \alpha \end{bmatrix} \begin{bmatrix} 0 \\ b \end{bmatrix} \\
 &= \frac{r_{m'1} t_{m'm}}{1 - \alpha - \beta - \gamma + \alpha\gamma} a_0 a b
 \end{aligned} \tag{2.15}$$

m 層の m'/m 界面から深さ z_2 の点からの SFG

この場合には、媒質 2 から来た光が媒質 1 との界面で反射・屈折するところでチョイスが生じる。そして、 E^- が E^+ に変わる反射の回数が増すごとにこれを考慮することによって、必要な表式を求めることが出来る。

上で行ったように、生成光が最初に m/m' 界面に達したときの挙動で分類すると、m/m' 界面での反射に対してさらに 1 回の反転を加えたときに派生する経路は下のように表される。

$$\begin{aligned}
 x r_{mm} y &\Rightarrow x r_{mm} r_{m2} b^2 r_{mm} y = x r_{mm} \gamma y \\
 x t_{mm} r_{m'1} t_{m'm} a^2 r_{m2} b^2 r_{mm} y &= x t_{mm} [r_{m'1} t_{m'm} a^2] \gamma y
 \end{aligned} \tag{2.16}$$

また、m'/m 界面は透過して m/2 界面で反射したものにさらに 1 回の反転を加えたときに派生する経路は下のように表される。

$$\begin{aligned}
 x' t_{mm} y' &\Rightarrow x r_{mm} r_{m2} b^2 t_{mm} y' = x r_{mm} [r_{m2} b^2 t_{mm}] y' \\
 x t_{mm} r_{m'1} t_{m'm} a^2 b^2 t_{mm} r_{m2} y' &= x t_{mm} \beta y' \\
 x t_{mm} r_{m'1} r_{m'm} a^2 y' &= x t_{mm} \alpha y'
 \end{aligned} \tag{2.17}$$

よって、 n 回の反転を経る光の出口直下での電場を下のように置くと、

$$x(r_{mm}y_n + t_{mm}y_n') = x(r_{mm}', t_{mm}') \begin{bmatrix} y_n \\ y_n' \end{bmatrix}$$

(n + 1) 回の反転を経る光の出口直下での電場は下のように表される。

$$\begin{aligned} & x[r_{mm}(\gamma y_n + r_{m2}b^2 t_{mm}y_n') + t_{mm}(r_{m1}t_{m'm}a^2 \gamma y_n + \alpha y_n' + \beta y_n')] \\ &= x(r_{m'm}, t_{m'm}) \begin{bmatrix} \gamma & r_{m2}t_{mm}b^2 \\ r_{m1}t_{m'm}a^2 \gamma & \alpha + \beta \end{bmatrix} \begin{bmatrix} y_n \\ y_n' \end{bmatrix} \\ &= x(r_{m'm}, t_{m'm}) \begin{bmatrix} \gamma & r_{m2}t_{mm}b^2 \\ r_{m1}t_{m'm}a^2 \gamma & \alpha + \beta \end{bmatrix}^{n+1} \begin{bmatrix} y_0 \\ y_0' \end{bmatrix} \end{aligned}$$

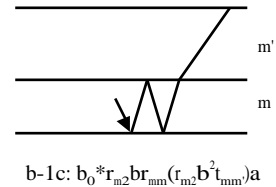
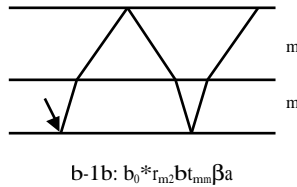
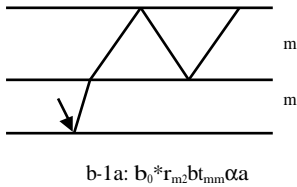
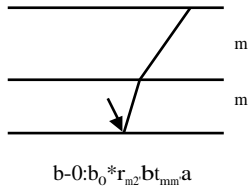
付録により、右辺の行列のべき乗がゼロに収束するときには、ネットの電場は（ゼロ次項から寄与する場合には）下ようになる。

$$\begin{aligned} E_{\text{net}} &= x(r_{m'm}, t_{m'm}) \begin{bmatrix} 1 - \gamma & -r_{m2}t_{mm}b^2 \\ -r_{m1}t_{m'm}a^2 \gamma & 1 - (\alpha + \beta) \end{bmatrix}^{-1} \begin{bmatrix} y_0 \\ y_0' \end{bmatrix} \\ &= \frac{1}{1 - \alpha - \beta - \gamma + \alpha \gamma} x(r_{m'm}, t_{m'm}) \begin{bmatrix} 1 - (\alpha + \beta) & r_{m2}t_{mm}b^2 \\ r_{m1}t_{m'm}a^2 \gamma & 1 - \gamma \end{bmatrix} \begin{bmatrix} y_0 \\ y_0' \end{bmatrix} \end{aligned} \quad (2.18)$$

E⁺ sources

反射 SFG E⁽⁰⁾

この場合には下図に示す経路が可能である。



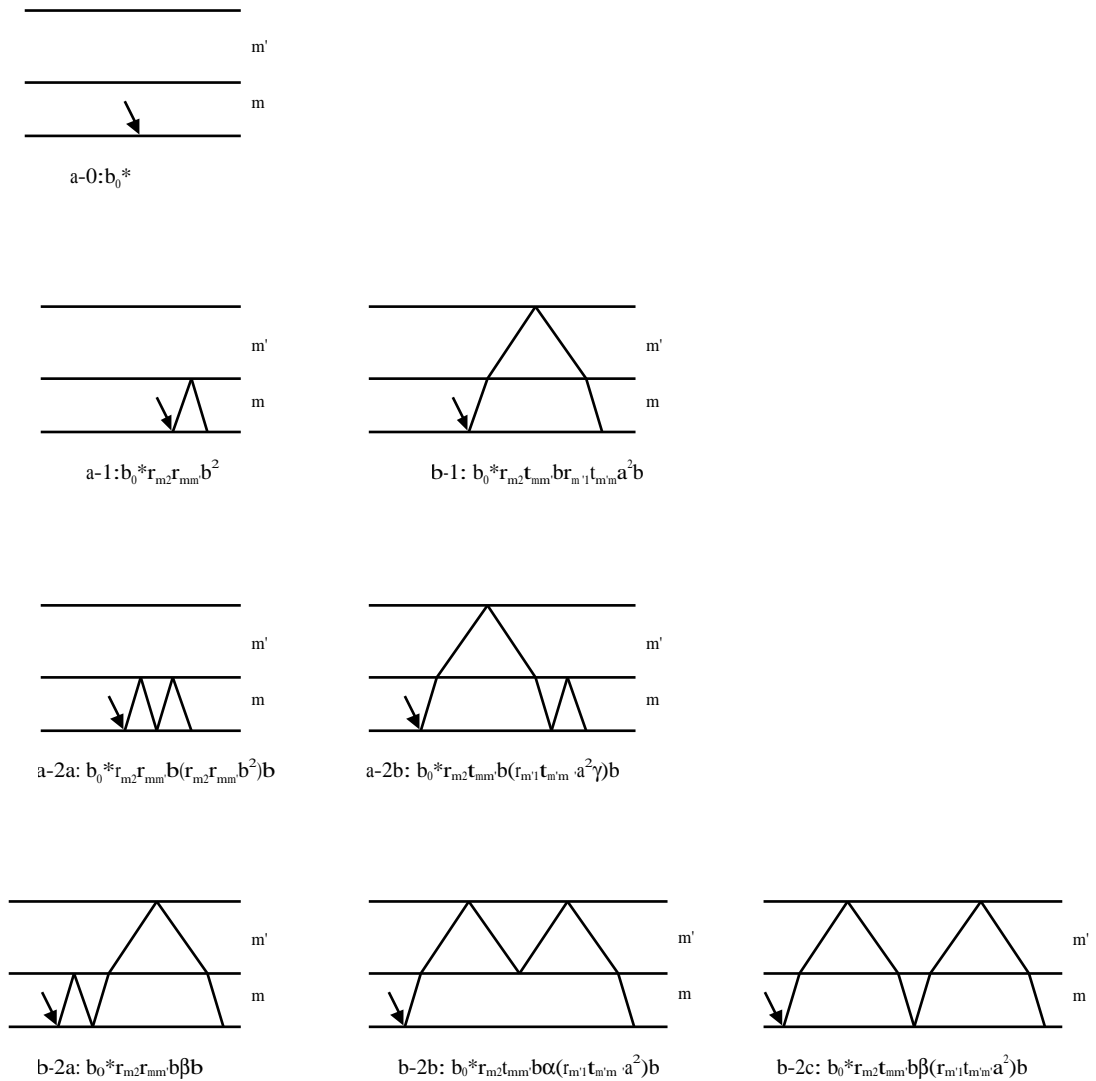
(2.18) 式を当てはめると、 $x = b_0 * r_{m2} b$ 、 $y_0 = 0$ 、 $y_0' = a$ に対応する。よって

$$E_{\text{net}} = \frac{1}{1 - \alpha - \beta - \gamma + \alpha\gamma} b_0^* b r_{m2} (r_{mm'}, t_{mm'}) \begin{bmatrix} 1 - (\alpha + \beta) & r_{m2} t_{mm'} b^2 \\ r_{m1} t_{m'm} a^2 \gamma & 1 - \gamma \end{bmatrix} \begin{bmatrix} 0 \\ a \end{bmatrix}$$

$$= \frac{r_{m2} t_{mm'}}{1 - \alpha - \beta - \gamma + \alpha\gamma} b_0^* a b \quad (2.19)$$

透過 SFG $E^+(h_m^+)$

この場合には下図に示す経路が可能である。



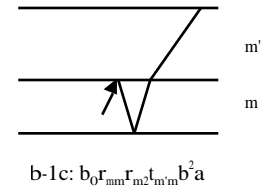
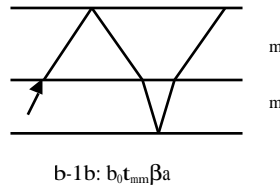
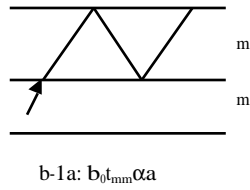
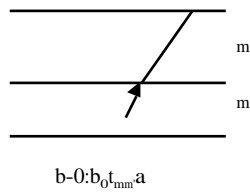
この場合は、すぐ外に出る項 b_0^* と、上で示した定式に従う項が存在する。後者に対して (2.18) 式を当てはめると、 $x = b_0^* r_{m2} b$ 、 $y_0 = b$ 、 $y_0' = r_{m1} t_{m'm} a^2 b$ に対応する。よって、

$$\begin{aligned}
E_{\text{net}} &= b_0^* + \frac{1}{1-\alpha-\beta-\gamma+\alpha\gamma} b_0^* b r_{m2} (r_{mm'}, t_{mm'}) \begin{bmatrix} 1-(\alpha+\beta) & r_{m2} t_{mm'} b^2 \\ r_{m1} t_{m'm} a^2 \gamma & 1-\gamma \end{bmatrix} \begin{bmatrix} b \\ r_{m1} t_{m'm} a^2 b \end{bmatrix} \\
&= b_0^* + \frac{b^2 r_{m2} (r_{mm'} + r_{m1} a^2)}{1-\alpha-\beta-\gamma+\alpha\gamma} b_0^* \\
&= \frac{(1+r_{m1} r_{m'm} a^2)}{1-\alpha-\beta-\gamma+\alpha\gamma} b_0^*
\end{aligned} \tag{2.20}$$

E^- sources

反射 SFG $E^-(0)$

この場合には下図に示す経路が可能である。

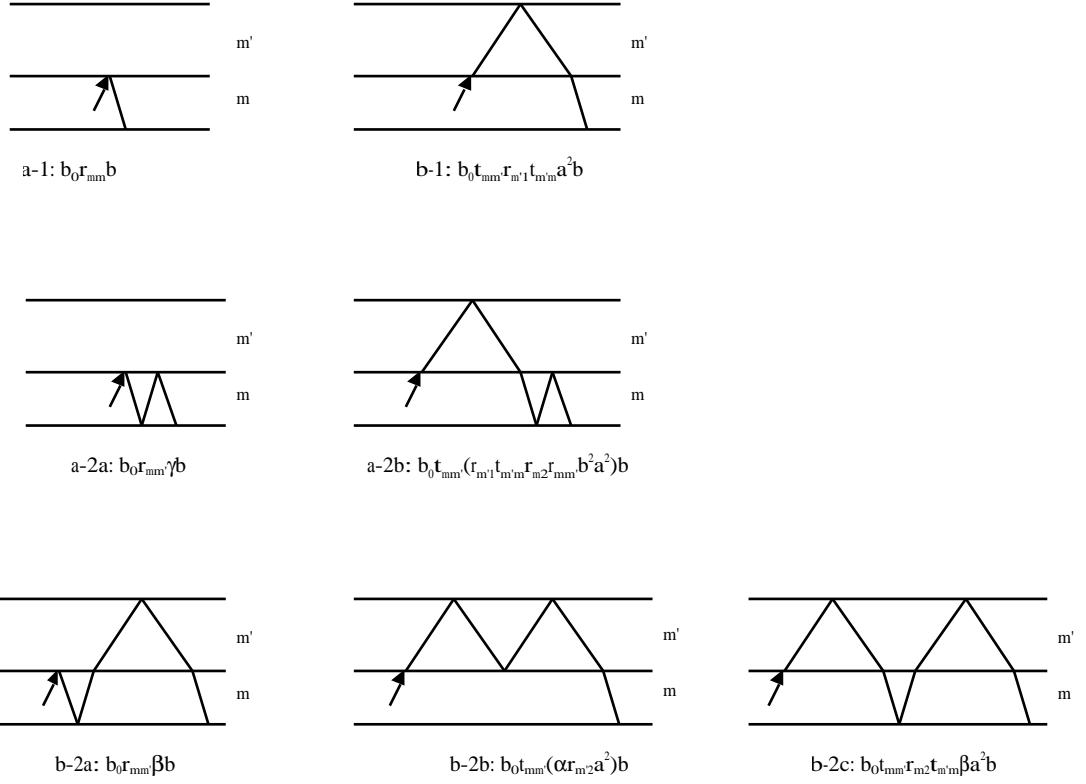


(2.18) 式を当てはめると、 $x = b_0$ 、 $y_0 = 0$ 、 $y_0' = a$ に対応する。よって、

$$\begin{aligned}
E_{\text{net}} &= \frac{1}{1-\alpha-\beta-\gamma+\alpha\gamma} b_0 (r_{mm'}, t_{mm'}) \begin{bmatrix} 1-(\alpha+\beta) & r_{m2} t_{mm'} b^2 \\ r_{m1} t_{m'm} a^2 \gamma & 1-\gamma \end{bmatrix} \begin{bmatrix} 0 \\ a \end{bmatrix} \\
&= \frac{t_{mm'}}{1-\alpha-\beta-\gamma+\alpha\gamma} b_0 a
\end{aligned} \tag{2.21}$$

透過 SFG $E^+(h_m^+)$

この場合には下図に示す経路が可能である。



(2.18) 式を当てはめると、 $x = b_0$ 、 $y_0 = b$ 、 $y_0' = r_{m'1} t_{m'm} a^2 b$ に対応する。よって、

$$\begin{aligned}
 E_{\text{net}} &= \frac{1}{1 - \alpha - \beta - \gamma + \alpha\gamma} b_0 (r_{mm'}, t_{mm'}) \begin{bmatrix} 1 - (\alpha + \beta) & r_{m'2} t_{m'm} b^2 \\ r_{m'1} t_{m'm} a^2 \gamma & 1 - \gamma \end{bmatrix} \begin{bmatrix} b \\ r_{m'1} t_{m'm} a^2 b \end{bmatrix} \\
 &= \frac{(r_{mm'} + r_{m'1} a^2)}{1 - \alpha - \beta - \gamma + \alpha\gamma} b_0 b \tag{2.22}
 \end{aligned}$$

付録 A : 行列の等比級数

2章で示したように、 $1/m'/m$ 系における SFG 光の取扱いに際して 2次元行列の等比級数の和が出てくる。ここでは、その和の表式を求める。

単位行列を E 、一般の行列を A としよう。

$$E = \begin{bmatrix} 1 & 0 \\ 0 & 1 \end{bmatrix}, \quad A = \begin{bmatrix} a_{11} & a_{12} \\ a_{21} & a_{22} \end{bmatrix} \tag{A.1}$$

行列のかけ算により、次の関係式が成立することは容易に示される (右辺を展開する)。

$$E - A^2 = (E - A)(E + A) \tag{A.2}$$

$$E - A^3 = (E - A)(E + A + A^2) \tag{A.3}$$

$$E - A^{(n+1)} = (E - A)(E + A + A^2 + \dots + A^n) \quad (\text{A.4})$$

行列式 $|E - A|$ がゼロでない値を持つ、即ち、行列 $E - A$ が逆行列 $(E - A)^{-1}$ を持つなら、下の関係式が成り立つ。

$$E + A + A^2 + \dots + A^n = (E - A)^{-1}(E - A^{n+1}) \quad (n \geq 0) \quad (\text{A.5})$$

$n = 0, 1, 2$ に対して (A.5) 式は成立しているから、(A.5) 式は一般的に成り立つ式である。

行列 A の行列要素のすべてについて、絶対値が 1 より小さいときには、行列 A^n はゼロに収束する。よって、下の公式が成り立つ。

$$\lim_{n \rightarrow \infty} (E + A + A^2 + \dots + A^n) = (E - A)^{-1} \quad (\text{when } |A_{ij}| < 1 \text{ for all } i \text{ and } j) \quad (\text{A.6})$$

付録 B : 2 節と 3 節の行列の関係

2 節で用いた表式と 3 節で用いた表式では、左端及び右端のベクトルの違いにより、行列も違っている。これらが等価であることを示しておこう。

2 節と 3 節の表式を形式的に (B.1) 式と (B.2) 式で表そう。

$$r'X^n u \quad (2 \text{ 節}) \quad (\text{B.1})$$

$$rY^n u' \quad (3 \text{ 節}) \quad (\text{B.2})$$

両者を比較すると、下の関係が成り立つことがわかるであろう。

$$r' = rA, \quad u' = Au \quad (\text{B.3})$$

$$Y = AXA^{-1}, \quad X = A^{-1}YA \quad (\text{B.4})$$

($b/r_{m_2 t_{mm}} b^2 = r_{m_1 t_{mm}} a^2$ 等の関係式を使う必要がある)

(B.3) 式と (B.4) 式を (B.1) 式に代入すると、

$$r'X^n u = rA(A^{-1}YA)(A^{-1}YA)\dots(A^{-1}YA)u = rY^n Au = rY^n u' \quad (\text{B.5})$$

よって、二つの表式が同じ結果を表していることが証明された。

q. e. d.